

زمان‌بندی فرود و پرواز هوایی‌ها بر روی باندها با در نظر گرفتن محدودیت در تعداد مکان استقرار هواییما

سعید صائمی، دانشجوی دکتری، گروه مهندسی صنایع، واحد تهران مرکز، دانشگاه آزاد اسلامی، تهران، ایران

رضا توکلی مقدم (مسئول مکاتبات)، استاد، دانشکده مهندسی صنایع، واحد تهران مرکز، دانشگاه آزاد اسلامی تهران، ایران

حامد نوذری، دانشجوی دکتری، گروه مهندسی صنایع، واحد تهران مرکز، دانشگاه آزاد اسلامی تهران، ایران

پانته‌آ ملکی‌مقدم، دانشجوی دکتری، گروه مهندسی صنایع، واحد تهران مرکز، دانشگاه آزاد اسلامی، تهران، ایران

E-mail: tavakoli@ut.ac.ir

پذیرش: ۱۳۹۵/۰۴/۲۰

دریافت: ۱۳۹۴/۱۰/۰۷

چکیده

در این مقاله، به مسئله زمان‌بندی فرود و پرواز هوایی‌ها به صورت همزمان بر روی چندین باند با در نظر گرفتن محدودیت در تعداد مکان‌های استقرار هواییما (Parking space) (با تابع هدف کمینه‌سازی دیرکرد وزنی کل پرداخته می‌شود. این قبیل مسائل در قالب زمان‌بندی ماشین‌ها همراه با زمان آمادگی (Ready time), زمان هدف (Target time) و زمان ضرب العجل (Deadline). مدل سازی می‌شود. به منظور اجتناب از پدیده‌ی ارتعاش ناشی از فرود یا پرواز هوایی‌ها (Wake-vortex effects)، بازه زمانی مشخص را بعد از فرود و پرواز هوایی‌ها در نظر می‌گیرند. نظر به احتمال رخداد چنین محدودیت‌هایی در پاره‌ای از اوقات در فرودگاه‌ها، با هدف برنامه‌ریزی در رویارویی هر چه بهتر با چنین مسائلی، مدل برنامه‌ریزی عدد صحیح مختلط (MIP) ارائه می‌شود. در این مقاله، از الگوریتم فرالبتکاری کرم شب تاب (Firefly algorithm) برای حل مدل استفاده می‌شود. در نهایت، عملکرد این الگوریتم پیشنهادی با استفاده از مجموعه‌ای مسائل معیار، مورد ارزیابی قرار می‌گیرد که رضایت‌بخش بودن عملکرد الگوریتم را نشان می‌دهد.

واژه‌های کلیدی: زمان‌بندی فرود و پرواز هوایی‌ها، زمان‌های جداسازی وابسته به توالی، مکان استقرار هواییما، الگوریتم کرم شب تاب.

Fiumicino Rome و Milan Malpensa airports

شرالی و همکاران [Sherali et al. 2010]، مسئله پرواز و فرود هوایپیماها بر روی یک باند را بررسی نموده‌اند. آن‌ها مسئله را در قالب مسئله‌ی فروشنده‌ی دورگرد نامتقارن مدل کردند. در این مقاله هدف، می‌نیمم‌سازی زمان تکمیل بیشینه با درنظرگرفتن محدودیت زمان جداسازی مناسب و محدودیت پنجره‌ی زمانی است. السالم و همکاران [Al-Salem et al. 2012]، مدلی برای مسئله فرود و پرواز هوایپیماها به صورت یکپارچه بر روی چندین باند ارائه نموده‌اند. هدف آن‌ها می‌نیمم‌سازی تاخیرات وزنی هوایپیماها است. آن‌ها مسئله را در قالب برنامه‌ریزی عدد صحیح مختلط و به صورت مسئله فروشنده دورگرد نامتقارن فرمول‌بندی کردند. آنچه که کار آن‌ها را متمایز می‌سازد ارتقاء مسئله با استفاده از نامعادلات معتبر و محدودیت‌های سلسله مرتبی شکست نامتقارن است. هدف از این نامعادلات و محدودیت‌ها، بهبود در ریلکسیشن مسئله‌ی خطی ارائه شده و کم کردن محاسبات است.

هنسر لیکولاری و همکاران [Hancerliogullari et al. 2013] با استفاده از مدل ارائه شده در السالم و همکاران [Al-Salem et al. 2012] و با استفاده از الگوریتم‌های فراابتکاری و ابتکاری نظری‌ابرید شبیه سازی شده و حتی با ترکیب آن‌ها توانستند در زمان‌های بسیار کوتاه به جواب‌های بهینه و یا نزدیک به بهینه مورد قبول، دست یابند. درمورد عدم دسترسی به باندها، محمودیان و همکاران [Mahmoudian and Aminnayeri, 2013], رویکردی ابتکاری برای زمانبندی فرود هوایپیماها با محدودیت عدم دسترسی به یکی از باندها ارائه نمودند. یعقوبی پناه و همکاران [Yaghoubi-Panah, 2013] چنددهدفه برای حالت چندبانده برای مسئله زمانبندی نشست هوایپیماها تحت شرایط فازی ارایه نموده‌اند. این مدل با الگوریتم علف‌های هرز چنددهدفه و الگوریتم تکاملی ژنتیک چنددهدفه به نام NSGA-II حل شده است.

در بخش دوم این مقاله، مسئله مورد نظر تعریف می‌شود. در بخش سوم مدل ریاضی مسئله ارائه می‌شود. در بخش چهارم روش الگوریتم کرم شب تاب به همراه شبه کد الگوریتم، ارائه

۱. مقدمه

در برگزاری مسابقات جام جهانی فوتبال حجم انبوهی از تماشاگران از طرق مختلف نظیر وسائل نقلیه‌ی شخصی، هوایپیما، قطار و کشتی خود را به محل برگزاری مسابقات به قصد تماشای بازی‌های تیم ملی خود و سایر تیم‌ها می‌رسانند. بنابراین در بحث حمل و نقل هوایی باید مسئولان فرودگاه‌ها در تدارک شرایط لازم برای رویارویی با حجم انبوهی از پروازها به فرودگاه‌های شهرهای محل برگزاری مسابقات باشند. در شرایطی دیگر، هر ساله در ایام حج حجم انبوه زائران و پروازها، ترافیک شدید هوایی را در فرودگاه‌های شهرهای مکه و مدینه بوجود می‌آورند. بنابراین در مواجهه با حجم انبوهی از مسافران و پروازها مسئله تعداد مکان‌های استقرار بعد از فرود اهمیت پیدا می‌کند به طوری که یک فرودگاه بزرگ با توجه به انبوه تقاضا برای فرود و پرواز هوایپیماها، با کمبود فضای برای استقرار هوایپیماها بعد از فرود، مواجه می‌شود. در چنین شرایطی نیازمند به زمانبندی مناسب برای هوایپیماهایی که در محدوده راداری فرودگاه در حال فرود یا پرواز می‌باشند، هستیم. بدان معنی که باید زمان مناسبی برای هوایپیماها در بازه زمانی خود، چه برای پرواز چه فرود در نظر گرفته شود تا محدودیت تعداد محل‌های استقرار هوایپیما نقض نشود و علاوه بر آن زمان تاخیر نیز کمینه شود.

از دیر باز تاکنون مقالات گوناگونی در زمینه زمانبندی فرود و پرواز صورت گرفته است. برای مثال تری وی زاس [Trivizas, 1998]، رویکرد برنامه‌نویسی پویا برای حل بهینه مسائل زمانبندی فرود و پرواز هوایپیماها را به صورت یکپارچه در حالت ایستا ارائه نمود. او در این مقاله با استفاده از اطلاعات واقعی استخراج شده از مشاهدات صورت گرفته به همراه اطلاعات مربوط به مشخصات فرودگاه‌ها، نشان داد که می‌توان ظرفیت باندها را تا ۲۰٪ افزایش داد. رویکرد بکاررفته در این مقاله با رویکرد اولین ورود، اولین خروج (FCFS) مقایسه شده است. بیانکو [Bianco et al. 2006]، مدل‌های پویا و ایستا برای زمانبندی فرود و پرواز هوایپیماها در پایانه کترنل ترافیکی ارائه نمود. وی در این مقاله از مدل زمانبندی کار کارگاهی استفاده کرده است. نتایج محاسباتی نشان از کاهش ۴۰٪ میانگین تاخیرات و افزایش ۳۰٪ ظرفیت پایانه کترنل ترافیکی در مقایسه با رویکرد زمانبندی اولین ورود، اولین خروج (FCFS) در

مثلثی به صورت خودکار برای زمان‌های جداسازی رعایت نمی‌شود. این نامعادله عبارت است از $S_{ab} + S_{bc} \geq S_{ac}$. در این نامعادله زمان جداسازی بین هواپیمای پیش رو a و هواپیمای دنباله رو b برابر S_{ab} درنظر گرفته شده است. این نامعادله لزوماً زمانی که هر دو نوع عملیات پرواز و فرود با هم در حال انجام گیری است، رعایت نمی‌شود.

حتی در هر دو مقاله شرالی و همکاران [Sherali et al. 2010] به این موضوع اشاره شده که زمان جداسازی به کاررفته در جدول ۱ به صورت خودکار بین دو نوع هواپیمایی که عملیات مشابهی در بین یک هواپیمایی که عملیات نامشابه آن‌ها را دارد، رعایت نمی‌شود. به عنوان مثال هواپیمایی با اندازه بزرگ به قصد فرود را درنظر بگیرید. این هواپیما، مقدم بر هواپیمایی مشابه خود که قصد پرواز دارد، فرود می‌آید.

مطابق این جدول، زمان جداسازی بین آن‌ها ۴۰ ثانیه است. حال اگر بعد از پرواز هواپیمایی دوم، هواپیمایی بزرگی فرود بیاید، زمان جداسازی بین آن‌ها ۵۰ ثانیه خواهد بود. حال زمان جداسازی مطابق جدول بین دو هواپیمایی سنگینی که قصد فرود دارند برابر $50 + 40 = 99$ ثانیه است. بنابر این نه تنها باید زمان جداسازی مطمئنی بین دو هواپیمایی متواالی که بر روی یک باند عملیات خود را انجام می‌دهند، درنظر گرفته شود بلکه، باید این زمان بین دو هواپیمایی نامتواالی که بر روی یک باند عملیات خود را انجام می‌دهند، محاسبه گردد.

۳. مدل ریاضی پیشنهادی

در این بخش، مدل پیشنهادی برای مسئله زمان بندی فرود و پرواز هواپیماها به صورت هم زمان بر روی باندها با محدودیت تعداد آشیانه‌ها ارائه می‌شود.

۱-۳ پارامترها

- $I = \{1, 2, \dots, i\}$: مجموعه‌ای از i هواپیما (به قصد پرواز یا فرود).
- i : مجموعه‌ای از هواپیماها که قصد فرود دارند، در حقیقت $i \subset I$.

شده است. در بخش پنجم نتایج محاسباتی تجزیه تحلیل می‌شوند و در پایان، نتیجه‌گیری در بخش ششم ارائه می‌شود.

۲. تعریف مسئله

مسئله زمانبندی هواپیماها با استفاده از نمادسازی $\alpha/\beta/\gamma$ که توسط لاولر و همکاران در سال ۱۹۸۲ ارائه گردید، به صورت $P_m | r_i, t_{ai}, d_i, S_{mi}, timewindow, \# parking | \sum w_i T_i$ قابل نمایش است. این مسئله عبارت است از تعیین توالی بهینه فرود یا پرواز هواپیماها و تخصیص آن‌ها به باندهای مختلف و همانند، با درنظر گرفتن محدودیت تعداد مکان‌های استقرار به طوری که مجموع هزینه‌های ناشی از دیرکرد هواپیماها کمینه شود. به عبارت دیگر مسئله زمانبندی هواپیماها، به زمانبندی هواپیماها (کار) بر روی باندهای (ماشین) همانند می‌پردازد. هر هواپیما جریمه وزنی خاص خود را دارد و در زمان آمادگی خود قادر به عملیات بر روی یک باند است. زمان واقعی عملیات نمی‌تواند قبل از زمان آمادگی و بعد از زمان ضرب‌العجل باشد. این زمان تا جای ممکن باید نزدیک به زمان هدف هواپیما باشد. از زمان آمادگی تا زمان ضرب‌العجل، پنجه زمانی شناخته می‌شود. انحراف از زمان ضرب‌العجل غیرممکن است. هنگامی که زمان عملیات یک هواپیما از زمان ضرب‌العجل تجاوز نماید، هواپیمایی مورد نظر، به باند اختصاص‌نیافتہ و زمانبندی صورت گرفته به عنوان زمانبندی نشدنی شناخته می‌شود. زمان هدف را می‌توان از پیش تعیین نمود، ولی زمان عملیات کاملاً به شرایط فرود یا پرواز بستگی دارد، بنابراین ممکن است یک هواپیما نتواند در زمان هدف خودش یا بسیار نزدیک به آن فرود یا پرواز نماید. اولویت با فرود است تا پرواز و همچنین اولویت با هواپیماهای بزرگ است.

هم‌چنین باید زمان جداسازی موردنیاز بین هواپیمایی موردنظر با هواپیماهای دیگر در نظر گرفته شود. علت وجود زمان جداسازی، جلوگیری از خطر اثر ارتعاشات ناشی از پرواز یا فرود است. هر هواپیما به هنگام انجام عملیات فرود یا پرواز، یک توربولانس یا آشفتگی تولید می‌کند. این آشفتگی بسته به نوع عملیات و اندازه‌ی هواپیما متفاوت است. این زمان جداسازی موردنیاز سازمان هواپیمایی فدرال و مقامات حمل و نقل هوانی ایالات متحده آمریکا است. این نکته قابل تأمل است که نامعادله

- i : مجموعه ای از هواپیماها که قصد پرواز دارند، در حقیقت $i \subset J$.

جدول ۱. حداقل زمان‌های جداسازی بین دو هواپیما

هواپیمای کوچک	هواپیمای متوسط	هواپیمای غول پیکر	هواپیمای غول پیکر	هواپیمای کوچک
۴۰	۴۰	۴۰	۴۰	۴۰
۳۵	۳۵	۳۵	۳۵	۳۵
۳۰	۳۰	۳۰	۳۰	۳۰
پروازی \rightarrow پروازی				
۱۹۶	۱۳۳	۹۹	۷۴	۱۳۱
۹۸	۸۰	۷۴	۷۴	۹۸
فروودی \rightarrow فروودی				
۱۲۰	۹۰	۶۰	۶۰	۹۰
۹۰	۶۰	۶۰	۶۰	۶۰
۶۰	۶۰	۵۰	۵۰	۶۵
۶۵	۵۳	۵۰	۵۰	۶۵
۶۵	۵۳	۵۰	۵۰	۶۵
پروازی \rightarrow فروودی				
۵۰	۵۰	۵۰	۵۰	۵۰

- w_i : وزن تخصیص داده شده به هواپیمای نیزه‌منای نوع عملیات و کلاس وزنی آن.
 - tai : زمان هدف برای هواپیماهایی که قصد شدن یا نشستن بر روی باند است.
 - d_i : زمان ضرب الاجلی برای هواپیمایی که قصد بلند شدن یا نشستن بر روی باند را دارد.
 - o_i : نوع عملیات هواپیمای i که می‌تواند فرود یا پرواز باشد.
- $capac$: ظرفیت تعداد محل‌های استقرار هواپیما در فرودگاه.

۲-۳ متغیرهای تصمیم‌گیری

- t_i : زمان آغاز عملیات پرواز یا فرود برای هواپیمای i .
- T_i : تاخیر هواپیمای i بر مبنای زمان هدف آن
- c_i : کلاس وزنی هواپیمای i که می‌تواند سبک، متوسط یا سنگین باشد.
- S_{mi} : فاصله زمانی بین دو هواپیمای m و i که در ابتدا هواپیمای m عملیات پرواز یا فرود را انجام می‌دهد و سپس هواپیمای i .

یا فرود خود به یکی از باندها اختصاص داده می‌شود. این محدودیت (۳) حد پایین تخصیص هواپیماها به باندها است که به هر باند حداقل یک هواپیما اختصاص داده می‌شود. محدودیت (۴) بیانگر محدودیت پنجه زمانی برای هر هواپیما است. برای بدست آوردن ترتیبی برای عملیات هواپیماها و این که هواپیمای i قبل از هواپیمای m عملیات خود را انجام می‌دهد یا خیر از محدودیت (۵) استفاده می‌شود. محدودیت (۶) جداسازی، باید تضمین کند زمانی که هواپیمای i و m روی باند یکسان عملیات خود را انجام دهن و هواپیمای m قبل از هواپیمای i عملیات خود را انجام دهد، هواپیمای S_{mi} و m واحد زمانی زودتر عملیات خود را انجام می‌دهد. محدودیت (۷) بیانگر تاخیر هواپیما مبتنی بر زمان هدف است.

محدودیت (۸) حد بالا برای تاخیر هر هواپیما را بیان می‌کند، به طوری که مانع از منفی شدن آن می‌شود. محدودیت‌های (۹) و (۱۰) رابطه بین هواپیماهایی که قصد فرود دارند را نشان می‌دهد. اگر هواپیمای n قبل از هواپیمای h که قصد فرود دارد، فرود آید متغیر $z_{h,n}$ برابر یک و در غیر این صورت برابر صفر است. محدودیت‌های (۱۱) و (۱۲) رابطه بین هواپیماهایی که قصد پرواز دارند برقرار می‌کنند. اگر هواپیمای o قبل از هواپیمای y که قصد پرواز دارد، پرواز کند $KK_{o,y}$ برابر یک و در غیر این صورت برابر صفر است.

$$\sum_{i=1}^I w_i T_i$$

$$\sum_{j=1}^J x_{ij} = 1 \quad i = 1, \dots, I$$

$$1 \leq \sum_{j=1}^J x_{ij} \quad j = 1, \dots, J$$

$$r_i \leq d_i \quad i = 1, \dots, I$$

$$\sigma_{im} + \sigma_{mi} = 1 \quad \forall i, m \in \{1, \dots, I\}, i \neq m$$

$$t_i \geq \left[t_m + S_{mi} + M \cdot (2 - x_{mj} - x_{ij}) - M \cdot \sigma_{im} \right] \quad \forall i, m \in \{1, \dots, I\}, i \neq m \quad j = 1, \dots, J \quad M \geq 0$$

$$T_i \geq t_i - ta_i \quad i = 1, \dots, I$$

$$0 \leq t_i \leq d_i - ta_i \quad i = 1, \dots, I$$

$$t_n \geq t_h - M \cdot z_{h,n} \quad h, n \in i_1$$

$$z_{n,h} + z_{h,n} = 1 \quad h, n \in i_1$$

$$t_o \geq t_y - M \cdot KK_{o,y} \quad o, y \in i_2$$

$$KK_{o,y} + KK_{y,o} = 1 \quad o, y \in i_2$$

$$(2 - dd_{n,y} - dd_{y,n}) * (t_n - t_y) \geq 0 \quad n \in i_1, y \in i_2$$

- x_{ij} : اگر هواپیمای i بر روی باند j عملیات

پرواز یا فرود انجام دهد، ۱ و در غیر این صورت ۰

- σ_{im} : اگر هواپیمای i قبل از هواپیمای m عملیات

خود را انجام دهد، ۱ در غیر این صورت ۰

- $z_{h,n}$: اگر هواپیمای n قبل از هواپیمای h که قصد

فرود دارد، فرود آید متغیر $z_{h,n}$ برابر یک و در غیر این

این صورت برابر صفر است

- $KK_{o,y}$: اگر هواپیمای o قبل از هواپیمای y که قصد

پرواز دارد، پرواز کند $KK_{o,y}$ برابر یک و در غیر این

صورت برابر صفر است.

- $dd_{n,y}$, $dd_{y,n}$: اگر هواپیمای n که قصد فرود دارد

قبل از هواپیمای y که قصد پرواز دارد، فرود آید این

متغیرها برابر یک و در غیر این صورت برابر صفر

می‌گردند.

۳-۳ مدل ریاضی پیشنهادی

در زیر مدل ریاضی پیشنهادی برای مسئله فرود و پرواز هواپیماها به صورت هم زمان بر روی باندها با محدودیت تعداد آشیانه‌ها آمده است.

رابطه (۱) تابع هدف مسئله (حداقل سازی تاخیر وزنی کل) است.

محدودیت (۲) بیانگر آن است که هر هواپیما برای انجام عملیات پرواز

(۱)

(۲)

(۳)

(۴)

(۵)

(۶)

(۷)

(۸)

(۹)

(۱۰)

(۱۱)

(۱۲)

(۱۳)

۵۲۱ مهندسی حمل و نقل / سال هشتم / شماره چهارم / تابستان ۱۳۹۶

www.SID.ir

$$t_y \geq t_n * (dd_{n,y} + dd_{y,n}) \quad n \in i_1, y \in i_2 \quad (14)$$

$$\sum_m dd_{i,m} + kk_{i,m} + z_{i,m} \leq capac \quad \forall i \in \{1, \dots, I\} \quad (15)$$

لازم به ذکر است که مسئله به ازای در نظر گرفتن یک مکان برای محل استقرار هواپیما نشدنی بوده و مقدار تابع هدف به ازای $i=1, 2, 3, 4$ مکان برای محلهای استقرار هواپیما برابر ۷۷۹، ۸۹۶ و ۱۸۴۷ است. این نکته حائز اهمیت است که اگر تعداد مکان‌های استقرار از ۴ بیشتر گردد میزان تابع هدف تغییری نمی‌کند.

۴. رویکرد حل مسئله

با توجه به آن که مسئله زمان بندی فرود و پرواز جز مسایل NP-Hard است حل مسئله در ابعاد بزرگ توسط روش‌های حل دقیق امکان‌پذیر ناست. به همین منظور، برای حل از الگوریتم کرم شب تاب استفاده شده و پاسخ‌ها با الگوریتم ژنتیک که الگوریتم پرکاربردی برای حل مسائل بهینه‌سازی با پیچیدگی بالا است مقایسه شده است.

۴-۱ الگوریتم کرم شب تاب

الگوریتم کرم شب تاب توسط یانگ [Yang, 2008] ارائه شد. برای این الگوریتم که بر اساس خصوصیات تشعشع کرم‌های شب تاب ارائه شده است از سه قانون دلخواه سازی زیر استفاده می‌شود.

جدول ۲. داده‌های مورد نیاز

زمان آماده سازی برای پرواز یا فرود

زمان ضرب الاجل

زمان هدف

وزن ها

حداقل زمان جداسازی بین هواپیماها

محدودیت‌های (۱۳) و (۱۴) نیز رابطه بین یک هواپیما که قصد فرود دارد n با یک هواپیما که قصد پرواز دارد y را بیان می‌کند. در این حالت اگر هواپیمای n که قصد فرود دارد قبل از هواپیمای y که قصد پرواز دارد، فرود آید متغیرهای $dd_{n,y}, dd_{y,n}$ برابر یک و در غیر این صورت برابر صفر می‌گردند. نهایتاً محدودیت آخر (۱۵)، ظرفیت مکان‌های استقرار را بیان می‌کند. در حقیقت این محدودیت نشان می‌دهد در هر لحظه از فرود یا پرواز نباید محدودیت محل‌های استقرار هواپیما نقض شود.

۴-۳ تحلیل حساسیت

به منظور بررسی تاثیر تغییر تعداد محل‌های استقرار بر جواب کلی مسئله، مثالی در زیر آورده شده است. در این مثال شش هواپیما، که سه هواپیمای اول به قصد فرود و سه هواپیمای دوم به قصد پرواز از فرودگاه در نظر گرفته شده است. در جدول (۲) اطلاعات مربوط به زمان آماده سازی، زمان ضرب الاجل، زمان هدف، وزن اختصاص داده شده به هواپیماها و حداقل زمان جداسازی بین هواپیماها آمده است. لازم به ذکر می‌باشد که محدودیت تعداد مکان‌های استقرار در این مثال، ۲ در نظر گرفته شده است.

با تغییر مقدار ظرفیت تعداد مکان‌های استقرار می‌توان تاثیر تغییرات این پارامتر بر مقدار تابع هدف (میزان تاخیر وزنی) را مطابق شکل ۱ مشاهده نمود.

1	2	3	4	5	6
173	55	47	10	147	256
773	655	647	610	747	865
193	85	67	30	165	283
6	5	6	6	4	5
1	2	3	4	5	6
1	-	157	96	96	196
2	60	-	60	60	131
3	96	157	-	96	196
4	96	157	96	-	196
5	60	69	60	60	-
6	60	69	60	60	131

Objective function $f(x)$, $x = (x_1, \dots, x_d)^T$

Generate initial population of fireflies

x_i , ($i = 1, 2, \dots, n$)

Light intensity I_i at x_i is determined by $f(x_i)$

Define light absorption coefficient γ

while($t < \text{MaxGeneration}$)

for $i = 1 : n$ all n fireflies

for $j = 1 : n$ all n fireflies (inner loop)

if $I_i < I_j$, Move firefly i towards j ; **end if**

Vary attractiveness with distance r via $\exp[-\gamma r]$

Evaluate new solutions and update light intensity

end for j

end for i

Rank the fireflies and find the current global best

g_*

end while

Post process results and visualization

شکل ۲: شبه برنامه الگوریتم کرم شب تاب (FA)

$$I(r) = \frac{I_s}{r^2} \quad (16)$$

بطوریکه I_s شدت در منبع است. برای یک واسطه داده شده با ضریب جذب نور ثابت γ , شدت نور I با فاصله r تغییر می‌کند، یعنی،

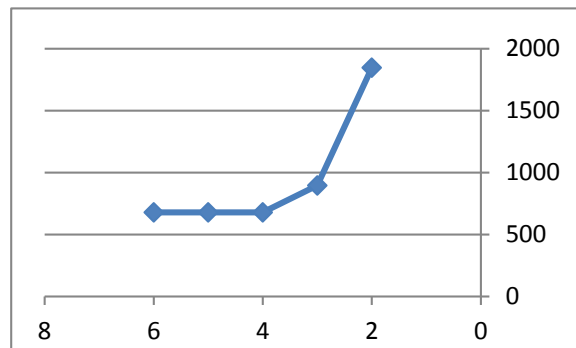
$$I = I_0 e^{-\gamma r} \quad (17)$$

I_0 شدت نور اولیه است. برای اجتناب از تکینی (Singularity) در عبارت I_s / r^2 , اجرای مرکب قانون مربع معکوس و جذب میتواند بفرم گوین زیر تخمین زده شود،

$$I(r) = I_0 e^{-\gamma r^2} \quad (18)$$

از آنجایی که قابلیت جذب یک کرم شب تاب متناسب با شدت نور دیده شده توسط کرم‌های شب تاب مجاور است، بنابراین ما می‌توانیم قابلیت جذب یک کرم شب تاب را بوسیله رابطه زیر تعریف کنیم،

$$\beta = \beta_0 e^{-\gamma r^2} \quad (19)$$



شکل ۱. میزان تابع هدف به ازای مقادیر مختلف تعداد محل‌های استقرار

- همه کرم‌های شب تاب متحددالجنس هستند، به طوری که یک شب تاب به سمت دیگر شب تاب‌ها جذب خواهد شد.
- قابلیت جذب کنندگی متناسب با درخشندگی آن‌ها است. بنابراین برای دو شب تاب چشمک زن، شب تاب با درخشندگی کم به سوی شب تاب پرنورتر حرکت خواهد کرد.
- درخشندگی یک کرم شب تاب به وسیله دورنمای تابع هدف تعیین می‌شود.

بر اساس این سه قانون مبنای ما حل الگوریتم کرم شب تاب می‌تواند بصورت شبیه برنامه‌ای که در شکل ۲ نشان داده شده است ارائه شود. در الگوریتم کرم شب تاب دو پیامد مهم وجود دارد، نوسان شدت نور و فرمول‌بندی قابلیت جذب. برای سادگی ما همیشه می‌توانیم فرض کنیم که قابلیت جذب یک کرم شب تاب بوسیله درخشندگی آن تعریف می‌شود که مجتمع با تابع هدف کد شده است.

در ساده‌ترین حالت برای مسئله بیشینه‌سازی، در صورتی که $f(x) \propto I(x)$ باشد، درخشندگی I برای یک کرم شب تاب در مکان خاص x می‌تواند انتخاب شود. هر چند که قابلیت جذب نسبی است اما باید توسط چشمان ناظر قابل مشاهده بوده یا توسط دیگر کرم‌های شب تاب تشخیص داده شود. بنابراین با فاصله r_{ij} بین شب تاب i و شب تاب j تغییر خواهد کرد. علاوه بر این شدت نور با فاصله از منبع کاهش می‌یابد. همچنین نور توسط واسطه‌ها جذب می‌شود. بنابراین می‌بایست اجازه دهیم تا قابلیت جذب با درجه جذب تغییر کند. در ساده‌ترین حالت، شدت جذب ($I(r)$ ، بر اساس قانون مربع معکوس زیر تغییر می‌کند.

اتفاقی با توزیع نرمال یا توزیع یکنواخت است. ما برای بیشتر پیاده‌سازی‌های خود، $\beta_0 = 1$ و $\alpha \in [0, 1]$ را در نظر می‌گیریم.

نکته جالب این است که رابطه (۲۶)، پیشروی از این اتفاقی بسوی شبتاب درخشنان تر است. اگر $\beta_0 = 0$ باشد در این-

صورت رابطه یک روند اتفاقی ساده خواهد بود.

پارامتر γ تغییرات قابلیت جذب کنندگی را مشخص کرده و مقدار آن به شدت برای تعیین کردن سرعت همگرایی و رفتار الگوریتم کرم شب تاب (FA) مهم است. در تئوری، $\Gamma \in [0, \infty)$ است، اما در عمل $\Gamma = O(1)$ که بوسیله طول مشخصه Γ برای سیستمی که بهینه می‌گردد تعریف می‌شود. بنابراین در بسیاری از کاربردها مقدار آن از $1, 10$ تا 10^4 تغییر می‌کند.

بر اساس آنچه که برای الگوریتم کرم شب تاب توصیف شد. پاسخهای بدست آمده در جدول ۳ نشان داده شده است. در این جدول، ۱۵ مثال ذکر شده است. در داده‌های بکار رفته، هر هوایپما در قالب‌های نوع عملیات (فرود یا پرواز)، کلاس وزنی (کوچک، متوسط و بزرگ)، اولویت (جریمه تاخیر هوایپما)، زمان آمادگی، زمان هدف، زمان ضرب‌الاجل و زمان‌های جداسازی مشخص شده‌اند. داده‌ها مطابق رویکردی است که هنسرلیگوکاری و همکاران [Hancerliogullari et al. 2013] برای تولید داده‌ها در مقاله خود به کار برده‌اند:

- نوع عملیات هوایپماها توسط مقادیر تصادفی 0 و 1 که به ترتیب بیانگر پرواز و فرود است، تولید می‌شوند.
- کلاس وزنی هوایپماها توسط مقادیر تصادفی 1 و 2 که به ترتیب بیانگر هوایپمای بزرگ (سنگین)، متوسط و کوچک است، تولید می‌شوند.
- جریمه تاخیر هر هوایپما بین 1 تا 6 متغیر است و تابعی بر اساس کلاس وزنی هوایپما و نوع عملیات آن است. برای مثال، حداقل وزن 1 به هوایپمای کوچک که قصد پرواز دارد و بیشترین وزن 6 به هوایپمای سنگینی که قصد فرود دارد، اختصاص می‌یابد.
- زمان آمادگی توسط توزیع یکنواخت گستته تولید می‌شود که پارامتری است که به صورت تصادفی بین 30 و 90 تولید می‌شود.

بطوریکه $\beta_0 = 0$ ، قابلیت جذب در $r = 0$ است. از آنجاییکه محاسبه

$\frac{1}{1+r^2}$ راحت‌تر از محاسبه عبارت نمایی است، بنابراین در جایی که لازم است به راحتی می‌توان رابطه زیر را نوشت،

$$\beta = \frac{\beta_0}{1+\gamma r^2} \quad (20)$$

دو روابط (۱۹) و (۲۰) یک فاصله مشخصه $\Gamma = 1/\sqrt{\gamma}$ را تعریف می‌کنند که قابلیت جذب را بطور معنی دار از β_0 به $\beta_0 e^{-\Gamma r}$ برای معادله (۱۹) یا $\beta_0 / 2$ برای معادله (۲۰) تغییر می‌دهد.

در پیاده‌سازی عملی، تابع قابلیت جذب کنندگی $\beta(r)$ ، می‌تواند هر تابع نزولی یکنواخت مانند تابع با فرم عمومی زیر باشد.

$$\beta(r) = \beta_0 e^{-\gamma r^m}, \quad (m \geq 1) \quad (21)$$

، طول مشخصه بصورت زیر خواهد بود، $\Gamma = \gamma^{-1/m} \rightarrow m \rightarrow \infty$

بالعکس برای طول مقیاس Γ داده شده در یک مسئله بهینه‌سازی، پارامتر γ می‌تواند به عنوان یک مقدار اولیه نوعی زیر مورد استفاده واقع شود،

$$\gamma = \frac{1}{\Gamma^m} \quad (22)$$

فاصله بین دو شبتاب i و j به ترتیب در مکان‌های x_i و x_j ، فاصله ای کارتزین بصورت است،

$$r_{ij} = \|x_i - x_j\| = \sqrt{\sum_{k=1}^d (x_{i,k} - x_{j,k})^2} \quad (24)$$

بطوری که $x_{i,k}$ ، k امین عنصر مختصات فضایی x_i ، برای شب تاب i است. در حالت دو بعدی داریم،

$$r_{i,j} = \sqrt{(x_i - x_j)^2 + (y_i - y_j)^2} \quad (25)$$

تاب بیش جذب‌کننده به سمت شب‌آحرکت شب تاب

با استفاده از رابطه زیر تعریف می‌شود، ζ (درخشنان تر)

$$x_i = x_i + \beta_0 e^{-\gamma r_{i,j}} (x_j - x_i) + \alpha \varepsilon_i \quad (26)$$

عبارت دوم به علت جذب است، عبارت سوم تصادفی‌سازی بوده و α پارامتر تصادفی‌سازی است. هم‌چنین ε یک بردار

همان طور که از جدول ۳ مشهود است، الگوریتم کرم شبتاب توانسته برای مثالهای کوچک در مدت زمانی تقریباً کمتر از مدت زمان اجرایی کد نوشته شده در لینگو به جواب بهینه دست یابد. در مورد مسائل بزرگ از آن جهت که نرم افزار لینگو قادر به حل آن در مدت زمان معقول ناست.

الگوریتم کرم شبتاب، جواب های قابل قبولی در مورد مسائل کوچک به ما می‌دهد، می‌توان این گونه برداشت کرد که استفاده از الگوریتم کرم شبتاب در مسائل بزرگ نیز ما را به جواب نزدیک به بهینه می‌رساند. در ضمن زمان اجرای الگوریتم در مورد این مسائل بسیار کم است، که این موضوع نشان‌دهنده قدرت الگوریتم در حل مسئله تعريف شده است.

- برای هر هواپیما بازه زمانی ۸۰۰ ثانیه در نظر گرفته شده است. بنابراین زمان ضرب العجل از طریق $(r_i + 800)$ برای هر هواپیما محاسبه می‌شود.

- زمان هدف از طریق $(r_i + 20)$ (زمان آمادگی برای پرواز یا فرود به علاوه ۲۰ ثانیه) برای هر هواپیما محاسبه می‌شود.

- همان‌طور که اشاره شده حداقل زمان جداسازی از مقاله شرالی و همکاران [Sherali et al. 2010] استخراج شده است. این مقادیر بین ۳۰ تا ۲۰۰ است که وابسته به نوع هواپیما (کوچک، متوسط و بزرگ)، نوع عملیات آن (فرود یا پرواز) است.

جدول ۳. نتایج محاسباتی

مسائل نمونه	تعداد کل هواپیماها	تعداد هواپیماها به قصد پرواز از فرودگاه	تعداد هواپیماها به قصد فرود در فرودگاه	تعداد آشیانه باند های فرودگاه	تعداد هادرهای فرودگاه	تعداد زمان اجرا (Lingo)	تعداد زمان اجرا (FA)	تعداد زمان هدف (GA)	تابع هدف اجرا (GA)	تابع هدف اجرا (FA)
۱	A ^{۶-b۲-} ۱	۶	۳	۳	۲	۱۵۲	۷۰	۷۰	۱۵۲	۶۸
۲	A ^{۶-b۲-} ۲	۶	۳	۳	۲	۴۲	۷۲	۴۲	۵۹	۴۲
۳	A ^{۶-b۲-} ۳	۶	۳	۳	۲	۳۷۲	۷۴	۷۵	۳۷۲	۶۲
۴	A ^{۶-b۲-} ۴	۶	۳	۳	۲	۷۹	۷۶	۷۵	۷۹	۶۵
۵	A ^{۶-b۲-} ۵	۶	۳	۳	۲	۴۷۴	۸۰	۷۶	۴۷۴	۵۰
۶	A ^{۸-b۲-} ۶	۸	۳	۳	۲	۱۶۰۲	۱۶۵	۱۵۸	۱۶۴۲	۲۰۱
۷	A ^{۸-b۲-} ۷	۸	۳	۳	۲	۳۷۸	۲۱	۲۰۱	۳۷۸	۱۹۴
۸	A ^{۸-b۲-} ۸	۸	۳	۳	۲	۳۹۵	۲۲۵	۲۰۲	۳۹۸	۱۸۲
۹	A ^{۸-b۲-} ۹	۸	۳	۳	۲	۵۰۱	۲۳۰	۲۲۳	۵۰۱	۱۸۰
۱۰	A ^{۸-b۲-} ۱۰	۸	۳	۳	۲	۶۶۳	۲۴۶	۲۳۵	۶۶۳	۱۹۹
۱۱	A ^{۱۵-b۲-۱۱}	۱۵	۵	۱۰	۲	-	۲۷۳	۲۴۵	۸۹۱	-
۱۲	A ^{۱۵-b۲-۱۲}	۱۵	۶	۶	۲	-	۶۶۹	۲۲۳	۶۷۵	-
۱۳	A ^{۱۵-b۲-۱۳}	۱۵	۴	۱۱	۲	-	۷۲۲	۲۲۱	۷۲۱	-
۱۴	A ^{۱۵-b۲-۱۴}	۱۵	۷	۷	۲	-	۷۸۰	۲۲۲	۲۱۹	-

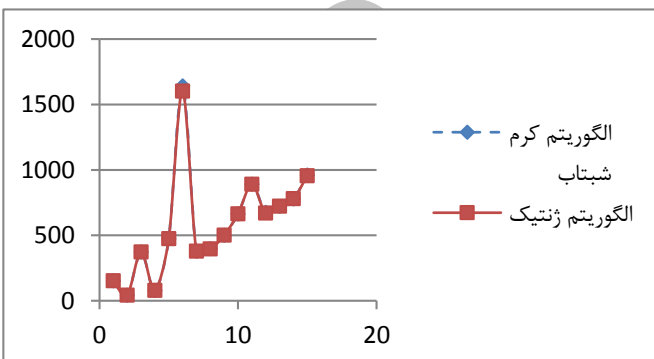
۲۸۲	۹۵۵	۲۵۶	۹۶۱	-	-	۶	۲	۱۲	۳	۱۵	A۱۵-
											b۲-۱۵

نباید به گونه‌ای انتخاب شود که ظرفیتی در فرودگاه برای استقرار آن نداشته باشیم. بنابراین بهترین زمان در بازه زمانی فوق برای هر هوایپما، حتی المقدور باید نزدیک به زمان هدف هوایپما باشد به طوری که محدودیت تعداد مکان‌های استقرار را نقض نکند و فاصله زمانی بین دو هوایپما نیز رعایت شود. سپس با توجه به توضیحات داده شده، مدل برنامه‌ریزی عدد صحیح مختلط ارائه شد و از طریق رویکرد به کار رفته در هنسرلیگولاری و همکاران [Hancerliogullari et al.2013] برای تولید داده‌ها، نمونه مسائل معیاری تعریف گردید. در بخش تحلیل حساسیت، تاثیر کاهش یا افزایش در مقدار این محدودیت (تعداد مکان‌های استقرار هوایپماها بعد از فرود) بر تابع هدف مورد بررسی قرار گرفت. در نهایت در بخش رویکرد حل مسئله، با استفاده از الگوریتم کرم شب‌تاب، جواب‌های قابل قبولی برای این نمونه مسائل بدست آمد. به طوری که این الگوریتم توانست برای مسائل کوچک جواب‌های بهینه‌ای با زمان‌های معقول بدست آورد و در مورد مسائل بزرگ نیز جواب‌های نزدیک به بهینه با زمان‌های مناسب ایجاد نمود. جواب‌های بدست آمد با استفاده از این الگوریتم دارای زمان نسبتاً پایین‌تری نسبت به الگوریتم ژنتیک می‌باشند.

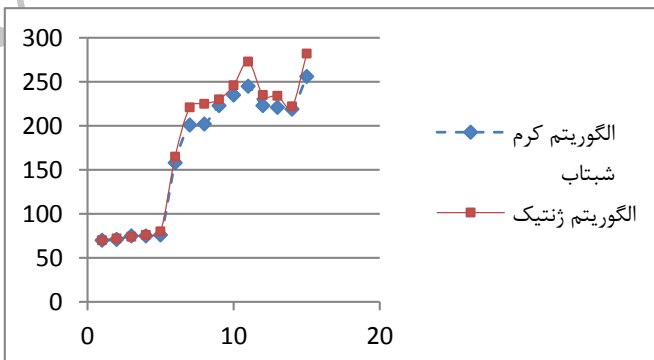
۶. مراجع

- Al-Salem, A., Farhadi, F., Kharbeche, M. and Ghoniem, A. (2012) "Multiple-runway aircraft sequencing problems using mixed-integer programming". IIE Annual Conference. Proceedings: 1-8.
- Bianco, L., Dell'Olmo, P. and Giordani, S. (2006) "Scheduling models for air traffic control in terminal areas. Journal of Scheduling, Volume 9, Issue 3, pp. 223-253.
- Federal Aviation Administration (2003) "Aeronautical information manual/Federal Aviation Regulation", McGraw-Hill, New York.
- Hancerliogullari, G. Rabadi, G., Al-Salem, A. H. and Kharbeche, M. (2013)" Greedy algorithms and metaheuristics for a multiple runway combined arrival-departure aircraft

همچنین پاسخ‌های بدست آمده با استفاده از الگوریتم کرم شب‌تاب با پاسخ‌های حاصله از الگوریتم ژنتیک مقایسه شده است (شکل ۳). این مقایسه نشان می‌دهد که پاسخ‌ها دارای کیفیت مناسبی بوده و جواب‌ها تقریباً همسان هستند. اما پاسخ‌های بدست آمده دارای زمان کوتاهتری نسبت به الگوریتم ژنتیک هستند که این خود نشان از قابلیت الگوریتم کرم شب‌تاب دارد (شکل ۴).



شکل ۳. مقایسه پاسخ‌های الگوریتم‌های ژنتیک و کرم شب‌تاب



شکل ۴. مقایسه زمان حل مسئله برای الگوریتم‌های ژنتیک و کرم شب‌تاب

۵. نتیجه گیری

هر هوایپما در یک بازه زمانی مشخصی باید اقدام به فرود یا پرواز کند به طوری که به زمان هدف در این بازه نزدیک باشد. نکته حائز اهمیت این است که با توجه به محدودیت تعداد مکان‌های استقرار، هوایپماها در بازه مشخص نزدیک به زمان هدف می‌بایست زمانی را انتخاب کنند که این محدودیت ارضاء شود. به عبارت دیگر زمان برای هوایپمایی که قصد فرود دارد

departure aircraft sequencing problem. Manuscript", Grado Department of Industrial and Systems Engineering (0118).

-Trivizas, D. A. (1998) "Optimal scheduling with maximum position shift (MPS) constraints: a runway scheduling application". Journal of Navigation, Vol. 51, pp.250-266.

-Yaghoubi-Panah, M., Tavakkoli-Moghaddam, R. and Radmehr, F. (2012) "Scheduling the sequence of aircraft landing with a single runway by a fuzzy programming approach", J. of Air Transport Management, Vol. 25, pp.15-18.

-Yang, X. S. (2008) "Firefly algorithm, In: Nature-inspired metaheuristic algorithms, Yang, X.-S. (ed.)", Wiley Online, pp.79-90.

sequencing problem", Journal of Air Transport Management, Vol. 32, pp.39-48

-Lawler, E. L., Lenstra, J. K. and Rinnooy, A. H. G. (1982) "Recent developments in deterministic sequencing and scheduling and stochastic scheduling", Reidel, Dordrecht, pp. 35e73.

-Mahmoudian, M, Aminnayeri, M. and Mirzadeh, A. (2013) "Aircraft landing scheduling based on unavailability of runway constraint through a time segment heuristic method", International Journal of Conceptions on Management and Social Sciences, 1, No. 2, 2357-2787.

-Sherali, H.D., Ghoniem, A., Baik, H. and Trani, A. A. (2010) "A combined arrival-

رضا توکلی مقدم، درجه کارشناسی در رشته مهندسی صنایع را در سال ۱۳۶۷ از دانشگاه علم و صنعت ایران و درجه کارشناسی ارشد در رشته مهندسی صنایع در سال ۱۳۷۲ را از دانشگاه ملبورن - استرالیا اخذ نمود. در سال ۱۳۷۶ موفق به کسب درجه دکتری در رشته مهندسی صنایع از دانشگاه سوئینبرن - استرالیا گردید. زمینه‌های پژوهشی مورد علاقه ایشان طراحی سیستم‌های صنعتی (مکانیابی و استقرار تسهیلات)، مسیریابی وسایط حمل و نقل، لجستیک و طراحی شبکه زنجیره تامین، زمانبندی و توالی عملیات، الگوریتم‌های فرآبتكاری در بهینه‌سازی بوده و در حال حاضر عضو هیات علمی با مرتبه استاد تمام در دانشگاه تهران است.



سعید صائemi، درجه کارشناسی در رشته مهندسی صنایع را در سال ۱۳۹۱ از دانشگاه قم و درجه کارشناسی ارشد در رشته مهندسی صنایع در سال ۱۳۹۳ را از دانشگاه علوم و فنون مازندران اخذ نمود. در حال حاضر دانشجوی دکترای مهندسی صنایع در دانشگاه آزاد اسلامی - واحد تهران مرکز است. زمینه‌های پژوهشی مورد علاقه ایشان زمانبندی، الگوریتم‌های فرآبتكاری و دقیق ا.



حامد نوذری، درجه کارشناسی در رشته مهندسی مکانیک را در سال ۱۳۸۸ و درجه کارشناسی ارشد در رشته مهندسی صنایع را در سال ۱۳۹۱ از دانشگاه علم و صنعت ایران اخذ نمود. وی در حال حاضر دانشجوی دکترای مهندسی صنایع در دانشگاه آزاد اسلامی است.



پانته آملکی مقدم ، درجه کارشناسی در رشته آمار را در سال ۱۳۸۶ از دانشگاه علامه طباطبایی و درجه کارشناسی ارشد در رشته مهندسی صنایع-سیستم‌های اقتصادی و اجتماعی را در سال ۱۳۹۱ از دانشگاه آزاد اسلامی، واحد علوم و تحقیقات تهران اخذ نمود. در سال ۱۳۹۶ موفق به کسب درجه دکتری در رشته مهندسی صنایع-مهندسی سیستم از دانشگاه آزاد اسلامی واحد تهران مرکز گردید. زمینه های پژوهشی مورد علاقه ایشان متاهیوریستیک،



داده کاوی، تحلیل پوششی داده ها است.

Archive of SID